

ность фрагментов некоторых символов учитывается введением в схему ГС двух групп элементов ИЛИ (2 и 3), соединенных с ПЗУ, одна из которых (2) подключена к дешифратору, а другая (3) — к распределителю микротактов.

Генератор (см. рис. 3) работает следующим образом. На входы дешифратора 1 поступают коды символов. Группа 2 объединяет сигналы символов, имеющих общие фрагменты в нескольких или в одном микротакте. С выходов элементов группы 2 сигналы подаются на входы элементов И 5 ПЗУ 4. На вход распределителя 7 поступает импульс начала символа; после подачи этого импульса на выходах распределителя 7 возникают последовательно во времени сигналы (микротакты). Группа 3 объединяет по несколько микротактов в зависимости от длины фрагмента, общего для группы символов. Сигналы с выходов элементов ИЛИ группы 3 подаются на вторые входы элементов И ПЗУ 4. Сигналы с выходов элементов И 5 посылаются на входы элементов ИЛИ 6, объединяющих эти сигналы по направлениям $+X$, $-X$, $+Y$, $-Y$. Сигнал подсвета образуется в ПЗУ аналогично сигналам направлений и подается на вход усилителя подсвета 10. Сигналы направлений $+X$, $-X$, $+Y$, $-Y$, с выходов ПЗУ поступают на входы генераторов пилообразных напряжений X 8 и Y 9; с выходов этих генераторов сигналы, усиленные усилителями отклонения луча 11 и 12, подаются на ЭЛТ.

ЛИТЕРАТУРА

1. Рейнберг М. Г. Формирование знаков на экране электронно-лучевых трубок. М., «Энергия», 1969.
2. Green M. R. and Higenbottom C. Cathode-ray tube generator, variable — symbol.— “Electron. Eng.”, 1968, vol. 40, N 10, p. 553.
3. Low P. R. et al. Apparatus for displaying characters as a sequens of linear visible traces. Pat. USA, N 3248725, 26.04.66.
4. Юзевич Ю. В., Малец Л. О., Дякив Я. Д. Генератор символов. Авт. свид-во № 524205, заявл. 03.01.75, опубл. 05.08.76.

Поступило в редакцию 21 апреля 1978 г.

УДК 621.375.826

А. Н. БОНДАРЕНКО, Ю. М. КРИНИЦЫН, Б. Я. МАСЛОВ
(Хабаровск)

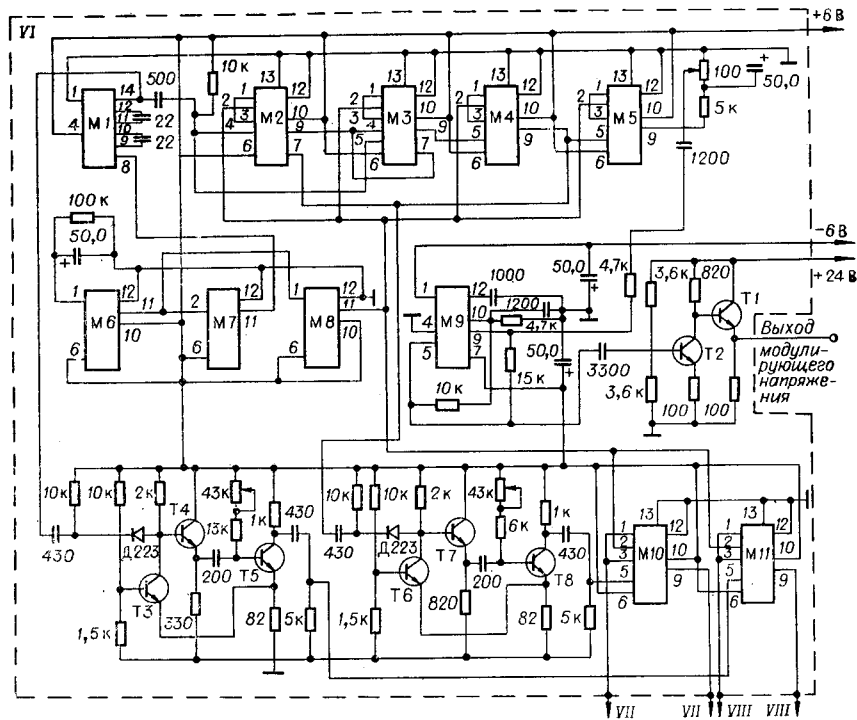
СИСТЕМА АВТОМАТИЧЕСКОЙ ПОДСТРОЙКИ ЧАСТОТЫ ДВУХЧАСТОТНОГО ГАЗОВОГО ЛАЗЕРА

В предыдущей работе * был рассмотрен метод стабилизации частоты двухчастотного Не-Не-лазера на $\lambda=0,63$ мкм, основанный на эффекте конкуренции типов колебаний, расположенных симметрично относительно центра контура усиления активной среды. Ниже мы опишем систему автоматической подстройки частоты двухчастотного лазера, стабилизированного указанным методом.

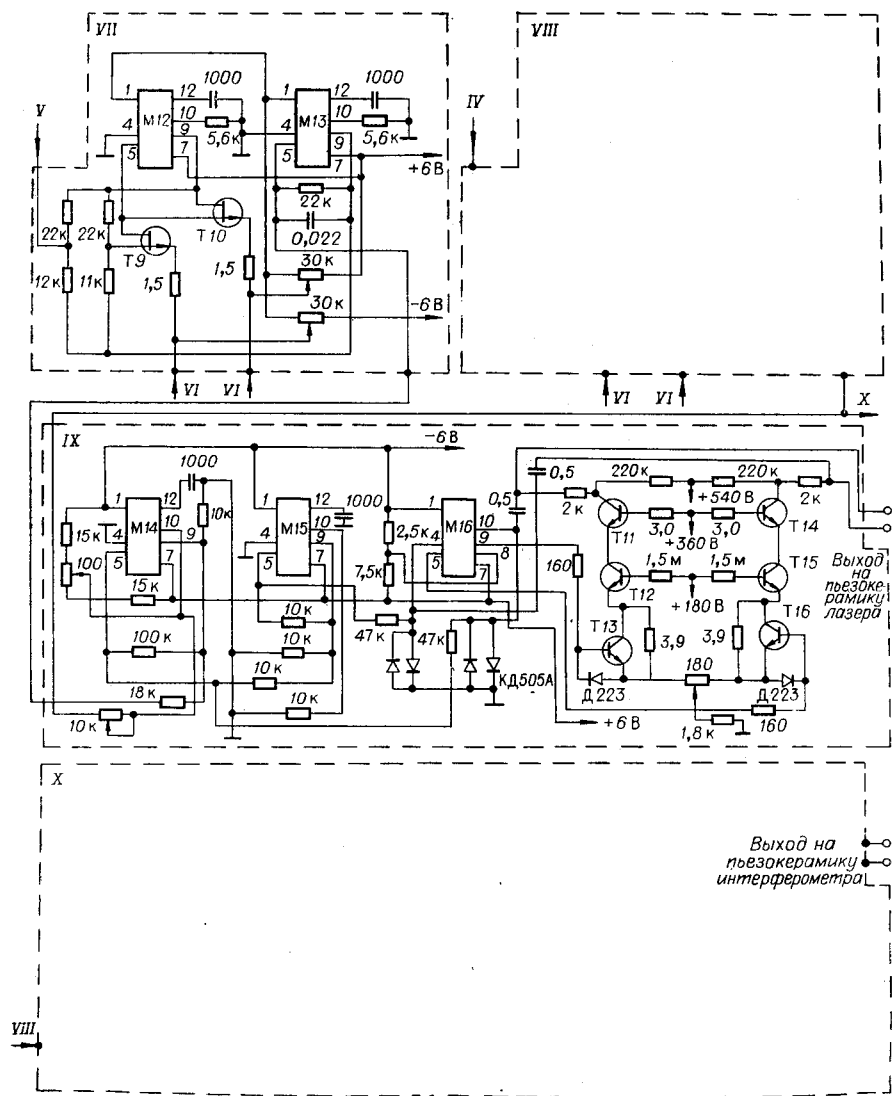
В целом система разбита на приемную часть (рис. 2) и управляющую (рис. 1). Приемная часть включает в себя следующие элементы структурной схемы, приведенной на рис. 5 **: ФП, РФ, РУ1, РУ2; управляющая часть — элементы ИУ, ФЧВ1, ФЧВ2, ФУ1, ФУ2, ДЧ1, ДЧ2, Г, ДИУ. Блок I содержит фотодиод ФД24К и согласующий элемент, блоки II и III — режекторные фильтры, обеспечивающие подавление нежелательных гармоник 4Ω и 2Ω в 100 раз. С выхода режекторных фильтров сигнал поступает на вход резонансного усилителя (блок IV), настроенного на частоту $\Omega=27$ кГц, и резонансного усилителя (блок V), настроенного на частоту $5\Omega=135$ кГц. Полоса пропускания резонансных усилителей равна 3 кГц; уровень шумов, приведенных ко входу, — 0,1 мкВ; диапазон выходных напряжений — 0÷1 В; коэффициенты усиления — $K_{IV}=$

* Бондаренко А. Н., Криницын Ю. М. Стабилизация частоты Не-Не-лазера на $\lambda=0,63$ мкм в режиме конкуренции типов колебаний.— «Автометрия», 1978, № 3, с. 115—120.

** Там же.



*Рис. 1. Управляющая часть системы автоматической подстройки частоты:
M1—К2ГФ181; M2—M5, M10, M11—2ТК171Б; M6—M8—К2ЛБ171Б; M9, M12—M15—1УТ401А;
M16—К1УТ221Б; T1—KT801; T2—T8—KT315Б; T9, T10—КП103Ж; T11—T16—KT604Б.*



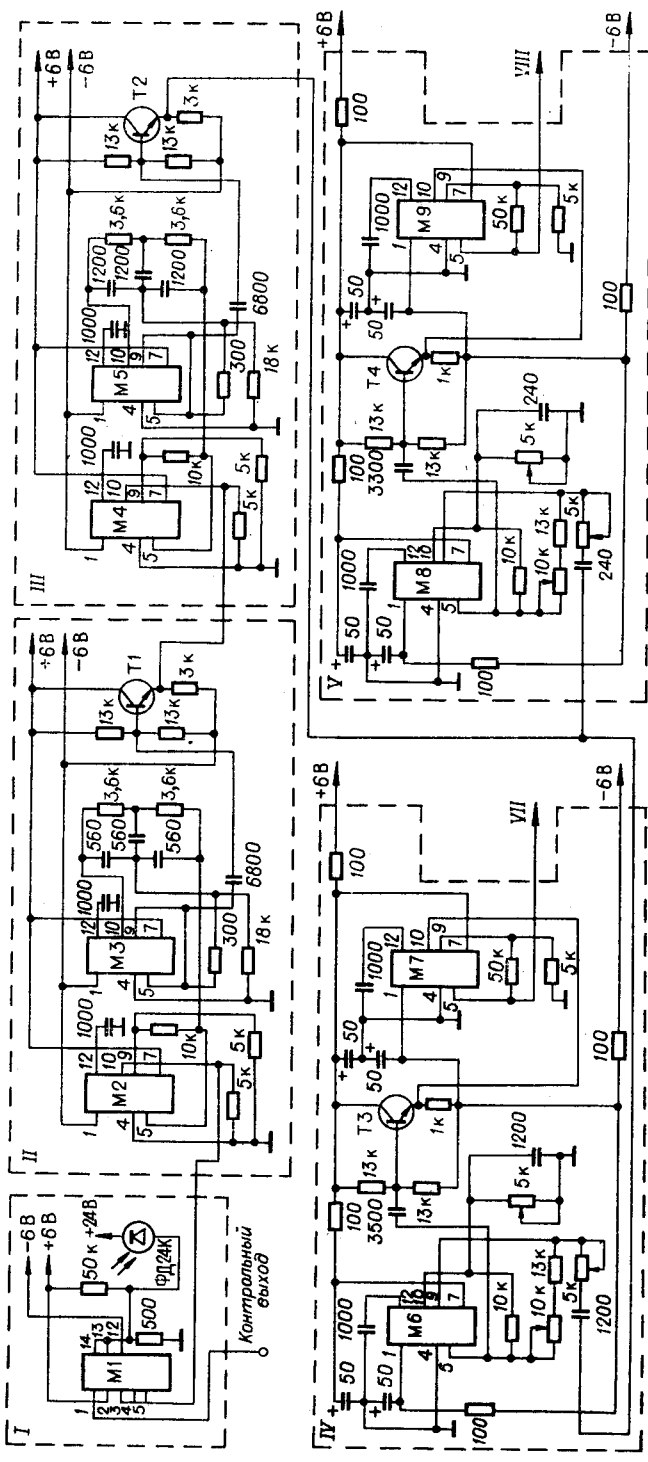


Рис. 2. Приемная часть системы автоматической подстройки частоты:
М1—К2CC832А, М2—М9-1V7401А, Т1—Т4—КТ315В.

$=2,5 \cdot 10^4$, $K_V = 3 \cdot 10^3$. С выхода приемной части (см. рис. 2) электрические сигналы на частоте Ω и 5Ω поступают на вход управляющей части (см. рис. 1), на фазочувствительные выпрямители ФЧВ (блоки VII и VIII).

Блок VI управляющей части (см. рис. 1) содержит следующие элементы структурной схемы, приведенной на рис. 5 из библиографии: Г, ДЧ1, ДЧ2, ФУ1, ФУ2. Задающий генератор (M1) прямоугольных импульсов (см. рис. 1) работает на частоте 10Ω . К его выходу последовательно подключены делители частоты $1:5$ ($M_2 \div M_4$) и $1:2$ (M_5). С выхода делителя (M_5) сигнал на частоте Ω поступает через активный фильтр (M_9), настроенный на частоту Ω , усилитель (T_2) и эмиттерный повторитель (T_1) на пьезокерамику интерферометра Фабри — Перо (ИФП). С выхода делителя частоты ($M_2 \div M_4$) сигнал подается на запуск ждущего мультивибратора ($T_6 \div T_8$), и задним фронтом импульса этого мультивибратора запускается второй делитель частоты $1:2$ (M_{10}). Длительность импульса мультивибратора может быть определена по микросхемам M6 — M8.

Коэффициент передачи каждого ФЧВ (блоки VII и VIII) равен единице, линейный динамический диапазон напряжений составляет $\pm 1,5$ В, дрейф нуля — не более 0,5 мВ, постоянная времени фильтра — $5 \cdot 10^{-4}$ с.

Блоки IX и X — дифференциальные интегрирующие усилители. У каждого из них статический коэффициент усиления равен $4 \cdot 10^3$, дрейф нуля не превосходит 1 мВ, время интегрирования составляет 100 с, линейный динамический диапазон выходных напряжений равен ± 300 В.

Цепи обратных связей для стабилизации ИФП и лазера характеризуются статическим коэффициентом усиления разомкнутой цепи $3 \cdot 10^4$ и частотой среза 300 Гц. Система обеспечивает стабилизацию частоты лазера с относительной нестабильностью не хуже 10^{-9} за 8 ч работы и уменьшение возмущающих воздействий на частоте 50 Гц в 10 раз.

Поступило в редакцию 26 сентября 1977 г.;
окончательный вариант — 21 февраля 1978 г.

УДК 534.8.081.7

В. И. СЕМЕНОВ, д. в. ШЕЛОПУТ
(Новосибирск)

АКУСТООПТИЧЕСКИЕ ХАРАКТЕРИСТИКИ ТАЖЕЛЫХ И СВЕРХТАЖЕЛЫХ ФЛЕНТОВ

В последние годы оксидные стекла с высоким показателем преломления начали широко использоваться в акустооптических устройствах. Это обусловлено тем обстоятельством, что по сравнению с кристаллами стекла обладают более высокой оптической однородностью, механической стойкостью, простотой изготовления, разнообразием размеров и формы, доступностью и низкой стоимостью.

Их основные недостатки — сравнительно невысокая акустооптическая добротность и высокий уровень акустических потерь — ограничивают область их использования диапазоном частот до $100 \div 300$ МГц. В то же время, например, для создания акустооптических устройств с апертурой $5 \div 10$ см (многоканальные модуляторы, дефлекторы с разрешением порядка 1000 точек) трудно (за редким исключением) подыскать соответствующий монокристалл.

В работе [1] предложены рекомендации по выбору акустооптических материалов, согласно которым среди стекол, прозрачных в видимом диапазоне спектра, максимальной акустооптической добротностью должны обладать теллуритные стекла, а также тяжелые и сверхтяжелые фланты на основе окислов свинца, висмута и других тяжелых элементов.

Исследованию акустооптических характеристик, освоенных промышленностью оксидных стекол, посвящено несколько работ [2—4]. В статье [4] впервые проведено